

بیان همزمان ترکیب چاپرون های Gro EL/Tig و Tig با فاکتور رشد فیبروبلاستی بازی انسانی در *E. coli* به منظور کاهش پروتئین های نامحلول نوترکیب

گلناز طباطبائی^{۱*}، حسن میرزاحسینی^۲، اکرم عیدی^۳

۱. دانشجوی کارشناسی ارشد سلولی و مولکولی، گروه زیست‌شناسی، دانشکده علوم پایه، دانشگاه آزاد اسلامی، واحد علوم و تحقیقات تهران

۲. استادیار ژنتیک، بخش بیوتکنولوژی، انستیتو پاستور ایران

۳. دانشیار فیزیولوژی جانوری، گروه زیست‌شناسی، دانشکده علوم پایه، دانشگاه آزاد اسلامی، واحد علوم و تحقیقات تهران

* **مسئول مکاتبات:** گلناز طباطبائی، ایران، تهران، سعادت آباد، شهرداری شمالی، داودحسینی، بهاران، بهار ۴، مجتمع پانیذ، واحد ۲۰۵، کدپستی: ۱۹۷۸۹۷۳۵۸۴، تلفن: ۰۲۱-۶۶۹۵۳۳۱۱، پست الکترونیکی: golnaz.tabatabaian@gmail.com

محل انجام تحقیق: تهران، انستیتو پاستور ایران، ساختمان بیوتکنولوژی پزشکی

تاریخ دریافت: ۱۳۸۸/۶/۱۶

تاریخ پذیرش: ۱۳۸۸/۷/۵

چکیده

در طی تولید پروتئین نوترکیب فاکتور رشد فیبروبلاستی بازی انسانی (hbFGF)، این پروتئین شکل صحیح فضایی خود را از دست داده و به شکل نامحلول در سیتوپلاسم سلول رسوب می‌کند. این تجمع پروتئینی، انکلوژن بادی نامیده می‌شود که از نظر بیولوژیکی، غیرفعال است. تجمع پروتئینی، یکی از مشکلات اساسی در تولید پروتئین نوترکیب است. به منظور کاهش انکلوژن بادی و افزایش فرم محلول hbFGF در باکتری *E. coli* از میان راه‌های مختلف، بیان همزمان ترکیبات مختلف چاپرون‌ها، با فاکتور رشد فیبروبلاستی بازی انسانی را مورد ارزیابی قرار می‌دهیم. ترانسفورم جداگانه هر یک از پلاسمیدهای TF-16 و pG-Tf2 به همراه pET-1008، بیان همزمان چاپرون‌ها و hbFGF، لیز سلولی توسط سونیکاسیون، مقایسه بخشه‌ای محلول و نامحلول hbFGF با تکنیک‌های Western Blot، SDS-PAGE و الایزا. نتایج نشان داد که چاپرون (TF) Trigger Factor به تنهایی، باعث افزایش hbFGF محلول می‌شود، در صورتی که این چاپرون در ترکیب با Gro EL، نه تنها باعث افزایش فرم محلول نمی‌شود، بلکه پروتئین هدف را تجزیه می‌کند. روند TF اتصال پروتئین هدف به Gro EL را تقویت می‌کند و سبب تجزیه hbFGF می‌شود، در صورتی که TF به تنهایی می‌تواند باعث فولدینگ hbFGF شود. نتایج، بیانگر تاثیر مثبت چاپرون TF بر فولدینگ hbFGF و افزایش حلالیت این پروتئین است.

واژه های کلیدی: چاپرون Gro EL/Tig، چاپرون Tig، فاکتور رشد فیبروبلاستی، *E. coli*، انسان

مقدمه

FGF2، دارای نقطه ایزوالکتریک $pI=9.6$ است. پیش‌ساز این فاکتور شامل ۱۵۵ اسیدآمینه است، ولی فرم فعال آن از ۱۴۶ اسیدآمینه تشکیل شده است. FGF-2 از ۱۲ زنجیر بتا - Sheet به صورت آنتی پارالل تشکیل شده است. وجود چند کدون CUG در فرادست کدون اصلی شروع

به دلیل امکان تهیه مقادیر بسیار ناچیز فاکتور رشد فیبروبلاستی بازی انسانی (hbFGF) از منابع طبیعی و با توجه به کاربرد این فاکتور در تحقیقات بالینی، علوم پایه و صنایع دارویی، پژوهش‌های متعددی در زمینه تولید این فاکتور به صورت نوترکیب صورت گرفته است.

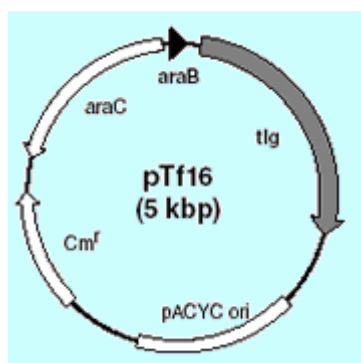
در واقع این مولکول‌ها، قسمت‌های هیدروفوب را روی پروتئین‌هایی که شکل مناسب فضایی ندارند، شناسایی می‌کنند (۸).

بسیار خانواده از این پروتئین‌ها وجود دارند که وزن مولکولی، ساختمان، عملکرد و جایگاه‌شان در سلول، متفاوت است. میزان این پروتئین‌ها به طور قابل ملاحظه‌ای در نتیجه شوک حرارتی افزایش می‌یابد که این امر باعث محافظت سلول در برابر حرارت می‌شود (۹،۱۰).

جهت بررسی میزان تاثیر هر کدام از چاپرون‌ها، از دو پلاسمید با دو ترکیب چاپرونی متفاوت استفاده شد و با بیان همزمان ترکیبات مختلف چاپرون‌های GroEL/Tig و Tig با فاکتور رشد فیبروبلاستی بازی انسانی در باکتری اشرشیاکلی، در نظر داشتیم تاثیر این ترکیبات را در جهت کاهش یا افزایش میزان کل پروتئین، فرم محلول و فرم نامحلول پروتئین هدف بررسی کنیم.

مواد و روش‌ها

وکتور pTf16: این پلاسمید با وزن مولکولی 5kbp، ناقل ژن *trigger factor* است. ژن مورد نظر در این پلاسمید، تحت کنترل پروموتور *araB* است. این چاپرون نیز با افزودن L-آرابینوز القا می‌شود و دارای ژن مقاومت به کلرامفنیکل است. ساختار این پلاسمید، در شکل (۱) نشان داده شده است.



شکل ۱- ساختار پلاسمید بیانی pTf16.

وکتور pG-Tf2: این پلاسمید با وزن مولکولی 8.3kbp، علاوه بر ژن *trigger factor*، دارای ژن چاپرون *groEL/ES* نیز هست. ژن‌های مورد نظر در این پلاسمید، تحت کنترل پروموتور Pzt 1

AUG، باعث ترجمه چندین ایزوفرم دیگر FGF-2 با وزن مولکولی بالاتر، از یک نوع mRNA می‌شوند. ۴ ایزوفرم سنگین bFGF یعنی ایزوفرم‌های K D ۲۴، ۲۲/۵، ۲۲ دارای ترادف nuclear localizing هستند که این فاکتور را به داخل هسته هدایت می‌کنند. در حالی که ایزوفرم ۱۸ KD فاقد این ترادف بوده و سیتوپلاسم، محل تجمع و فعالیت آن است. بیشتر گزارش‌ها روی فعالیت ایزوفرم ۱۸ KD متمرکز است. در واقع FGF-2 دارای طیف عمل گسترده‌ای روی سلول‌ها و بافت‌های مختلف است که در این تحقیق نیز، ایزوفرم سیتوپلاسمی مورد نظر است.

در طی تولید این پروتئین نوترکیب فاکتور رشد فیبروبلاستی بازی انسانی (hbFGF)، این پروتئین شکل صحیح فضایی خود را از دست داده و به شکل نامحلول در سیتوپلاسم سلول رسوب می‌کند. این تجمع پروتئینی، انکلوژن بادی نامیده می‌شود که از نظر بیولوژیکی غیرفعال است (۶-۱).

انکلوژن بادی‌ها ذرات الکتروتنسی (-electro-dense) هستند که هم در سیتوپلاسم و هم در فضای پری پلاسمیک *E. coli*، در جریان افزایش بیان پروتئین‌های نوترکیب ایجاد می‌شوند و این‌گونه تصور می‌شود که با بیان بالای پروتئین‌های غیرطبیعی و پروتئین‌های هیدروفوب، این پروتئین‌ها به صورت انکلوژن بادی در سلول تجمع پیدا می‌کنند (۵).

روش‌های مختلفی جهت کاهش تولید انکلوژن بادی استفاده شده است که از جمله می‌توان کاهش سرعت سنتز پروتئین‌ها، استفاده از پروتئین‌های فیوژن، موتاسیون در پروتئین هدف، شرایط مساعد کشت و بیان همزمان چاپرون‌های مولکولی را نام برد (۷،۶،۱).

در این تحقیق به منظور افزایش فرم محلول hbFGF تولید شده در باکتری *E. coli*، از میان راه‌حل‌های موجود، بیان همزمان ترکیبات مختلف چاپرون‌ها با فاکتور رشد فیبروبلاستی بازی انسانی مورد ارزیابی قرار گرفته است. مولکول‌های چاپرون، پروتئین‌های حفظ شده‌ای هستند که سایر پروتئین‌ها را به شکل مناسب فضایی در می‌آورند.

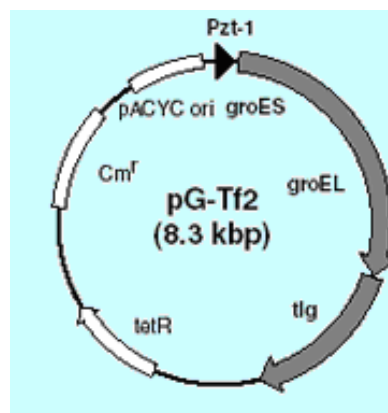
القا و بیان همزمان چاپرون ها و hbFGF در سلول *E. coli*

باکتری‌های حاوی پلاسمید چاپرون و ساختار بیانی pET-1008 در ۵ ml محیط کشت LB حاوی کلرامفنیکل (20mg/ml) و آمپی‌سیلین (50 mg/ml) در دمای ۳۷°C کشت داده شدند. لاکتاندی‌های بیان مولکول‌های چاپرون (L-آرابینوز یا تتراسایکلین) از ابتدا، همزمان با آنتی‌بیوتیک‌ها، به محیط کشت افزوده شد (طبق پروتکل استفاده از این پلاسمیدها). وقتی OD در A600 به حدود ۰/۵ رسید (بعد از حدود ۳ ساعت)، سلول‌های واجد هر دو پلاسمید به وسیله ۰/۱ mM IPTG برای تولید hbFGF القا شدند. ۵ ساعت بعد از القا، انکوباسیون متوقف و سلول‌ها به وسیله سانتریفیوژ (۱ دقیقه، ۶۰۰۰ rpm) رسوب داده شدند. سپس بافر PBS به آن اضافه شد و عمل sonication برای شکست و لیز سلول‌ها انجام گردید.

استخراج و آنالیز پروتئین سلولی

رسوب سلول‌های القا شده، در بافر PBS (pH=۴/۷) حاوی ۲۵۰ μg/ml لیزوزیم، ۰/۱ فنیل متیل سولفونیل فلوراید (PMSF)، ۱M EDTA و ۰/۵ Mm MgCl₂ مخلوط و سوسپانسیون حاصل، به مدت ۳۰ دقیقه در یخ نگهداری شد. بعد از گذشت ۳ ساعت، سوسپانسیون سلولی ۳ مرتبه و هر بار به مدت ۳۰ ثانیه سونیکه شد. محصولی را که بعد از سونیکاسیون به دست می‌آید، فراکشن کل پروتئین می‌نامند که مخلوطی از پروتئین‌های محلول در سیتوپلاسم و پروتئین‌های غیرمحلول مثل ذرات انکلوزن بادی است. برای جدا کردن پروتئین‌های محلول از پروتئین‌های غیرمحلول از سانتریفیوژ با دور ۱۰۰۰۰ rpm به مدت ۱۰ دقیقه استفاده شد. سپس به بررسی بخش کل پروتئین به همراه فراکشن محلول و نامحلول پرداختیم. به منظور آنالیز تاثیر بیان همزمان ۲ ترکیب متفاوت از مولکول‌های چاپرون روی حلالیت و پایداری پروتئین هدف (hbFGF)، از تکنیک

هستند. این چاپرون‌ها با افزودن تتراسایکلین القاء می‌شوند و دارای ژن مقاومت به کلرامفنیکل نیز هستند. ساختار این پلاسمید، در شکل ۲ نشان داده شده است.



شکل ۲- ساختار پلاسمید بیانی pG-Tf2.

وکتور pET-1008: ژن cDNA-hbfgf، که در پلاسمید بیانی pET-22b کلون شده است. این پلاسمید از کمپانی Novogene خریداری شد.

ترانسفورم نمودن همزمان پلاسمیدهای چاپرون همراه با ساختار بیانی pET-1008

پلاسمیدهای بیان کننده چاپرون‌ها (pTf16 و pG-Tf2) از کمپانی TAKARA ژاپن خریداری شد. cDNA-hbfgf توسط ماساهاارو سنو از دانشگاه اوکایامای ژاپن، تهیه و ارسال گردید. جهت آماده نمودن سلول‌های مستعد و انتقال پلاسمیدها به داخل سلول‌های OrigamiB (DE3)، ابتدا سلول‌ها در مجاورت کلرید کلسیم قرار داده شد و سپس با شوک حرارتی، مقدمات ورود پلاسمیدها (pET-1008) به همراه pTf16 یا pG-Tf2 به داخل سلول‌ها فراهم گردید. بدین صورت که کلسیم موجب اتصال DNA و رسوب آن روی سلول می‌شود و از طرف دیگر با تغییر درجه حرارت تا ۴۲ درجه سانتی‌گراد، به ورود DNA به درون سلول کمک می‌کند. باکتری‌هایی که موفق به دریافت هر دو پلاسمید شده باشند، به علت وجود ژن مقاومت به آمپی‌سیلین و کلرامفنیکل موجود در پلاسمیدها، به وسیله کشت روی محیط LB آگار، حاوی آمپی‌سیلین و کلرامفنیکل غربال می‌شوند (۱۱).

SDS-PAGE و ELISA (کیت الیزای اختصاصی hbFGF ساخت شرکت R&D) نیز استفاده شد.

وسترن بلائینگ

این تکنیک بر اساس متد Towbin (آنزیم‌های اختصاصی شرکت Sigma) صورت گرفت (۱۲).

الیزا (Enzyme Linked Immunosorbent Assay, ELISA)

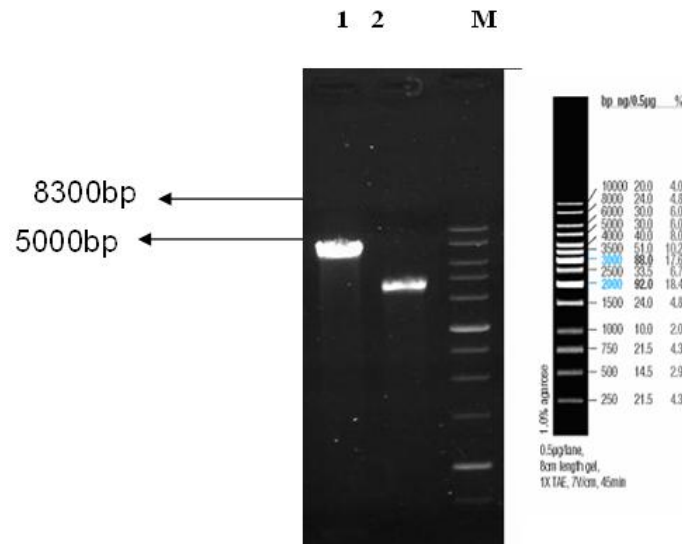
جهت اندازه‌گیری دقیق‌تر hbFGF تولید شده به فرم محلول و نامحلول و پروتئین کل، از تکنیک الیزا (کیت الیزای اختصاصی hbFGF ساخت شرکت R&D) استفاده شد.

نتایج

تایید حضور پلاسمید TF-16 و pG-Tf2 در سلول به ترتیب با آنزیم محدود الاثر *Bgl II* و *Nde I*

پلاسمیدهای TF-16 و pG-Tf2، در شروع کار هر کدام به طور جداگانه، به داخل باکتری *Origami (DE3)* ترانسفرم شد، که می‌بایست مورد ارزیابی اولیه قرار می‌گرفت.

اگر پلاسمیدها در داخل سلول باشند، محصول هضم آنزیمی، یک قطعه 5000bp برای TF-16 و یک قطعه 8300bp برای پلاسمید pG-Tf2 است که در شکل ۳ ملاحظه می‌شود.

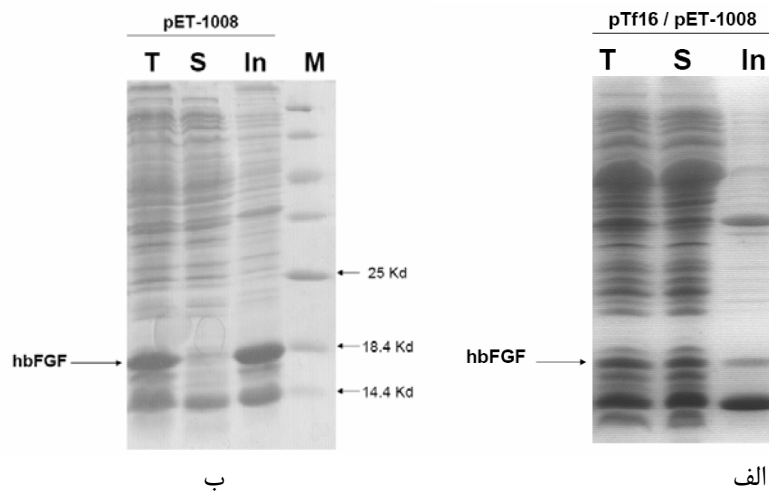


شکل ۳- ستون ۱: هضم آنزیمی TF-16 با *Bgl II*, ستون ۲: هضم آنزیمی pG-Tf2 با *Nde I* ستون ۳: اوزان مولکولی.

یک تک‌کلنی در 5ml محیط LB مایع، القای بیان trigger factor و hbFGF به ترتیب با افزودن L-آرابینوز و IPTG صورت گرفت. بعد از گذشت زمان کافی جهت بیان hbFGF، با لیز سلول‌ها، جداسازی بخش کل پروتئین سلول (عصاره سلولی) = Total proteins انجام شد. با سانتریفیوژ نمودن عصاره سلولی در دور 13000rpm و به مدت ۱۰ دقیقه، بخش محلول و بخش نامحلول، جدا و میزان hbFGF موجود در این بخش‌ها توسط

بیان همزمان چاپرون tig و hbFGF در سلول hbFGF و مقایسه میزان hbFGF محلول و نامحلول تولید شده توسط تکنیک SDS-PAGE بعد از تهیه سلول مستعد، دو پلاسمید pTF-16 و pET-1008 (حامل ژن *tig* و *hbfgf*) به داخل سلول *Origami B (DE3)* ترانسفورم شدند. با کشت سلول‌های ترانسفورم شده روی محیط LB آگار حاوی آمپی‌سیلین و کلرامفنیکل، سلول‌های حامل هر دو پلاسمید، غربال شده و سپس با کشت

تکنیک SDS-PAGE و الیزا با هم مقایسه شد.



شکل ۴- SDS-PAGE. S: بخش محلول عصاره سلول، In: بخش نامحلول عصاره سلول، T: عصاره سلول الف) مقایسه بخش‌های محلول و نامحلول عصاره سلول‌های حاوی پلاسمیدهای pET-1008 و pTf16، ب) مقایسه بخش‌های محلول و نامحلول عصاره سلول‌های حاوی پلاسمید pET-1008 به تنهایی.

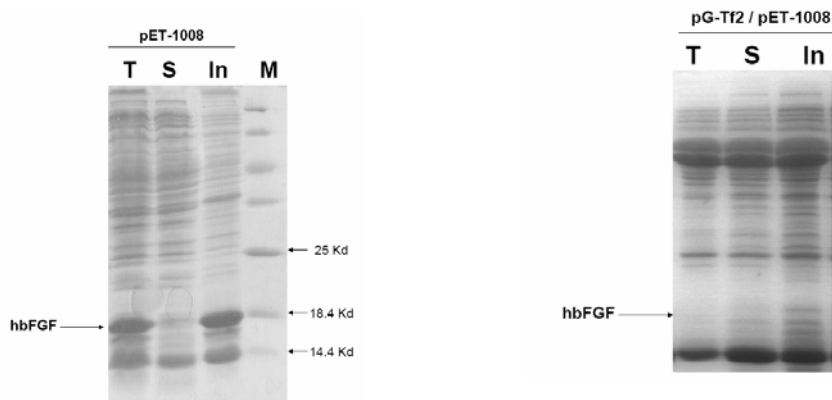
همان‌طور که در شکل ۴ مشاهده می‌شود، میزان hbFGF در بخش نامحلول عصاره سلول‌های حاوی پلاسمید pET-1008 به تنهایی بالا است. در حالی که با بیان همزمان Trigger factor به میزان بالا، hbFGF بیشتری در بخش محلول عصاره سلولی مشاهده می‌گردد و در عین حال، با کاهش hbFGF در بخش نامحلول، شاهد کاهش میزان hbFGF در عصاره سلول هستیم (شکل ۴).

همان‌طور که در شکل (۵) مشاهده می‌شود، با توجه به شدت رنگ باند، میزان بخش نامحلول hbFGF در تست SDS-PAGE، در زمانی که hbFGF به تنهایی بیان می‌شود، بالا است.

بیان همزمان ترکیب چاپرونی -GroEL/ tig/ ES و فاکتور رشد فیبروبلاستی بازی انسانی نه تنها باعث افزایش حلالیت و کاهش بخش نامحلول نشده است، بلکه موجبات تجزیه پروتئین hbFGF را نیز فراهم آورده است، به طوری که هیچ بانندی روی ژل تشکیل شده، دیده نشد که نشان می‌دهد این ترکیب چاپرونی دارای اثر منفی بر روی پروتئین مورد نظر بوده است.

بیان همزمان ترکیب چاپرونی -GroEL/ tig/ ES با hbFGF در سلول و مقایسه بخش‌های محلول و نامحلول توسط SDS-PAGE بعد از تهیه سلول مستعد، دو ساختار pG-Tf2 و pET-1008 حامل ژن *tig/ GroEL-ES* و ژن *hbFGF*، به داخل سلول OrigamiB(DE3) ترانسفورم و در LB مایع ۵ میلی‌لیتری کشت داده شدند.

بعد از بیان پلاسمید pG-Tf2 توسط تتراسایکلین و پلاسمید pET-1008 توسط IPTG، جداسازی بخش کل پروتئینی Total



ب

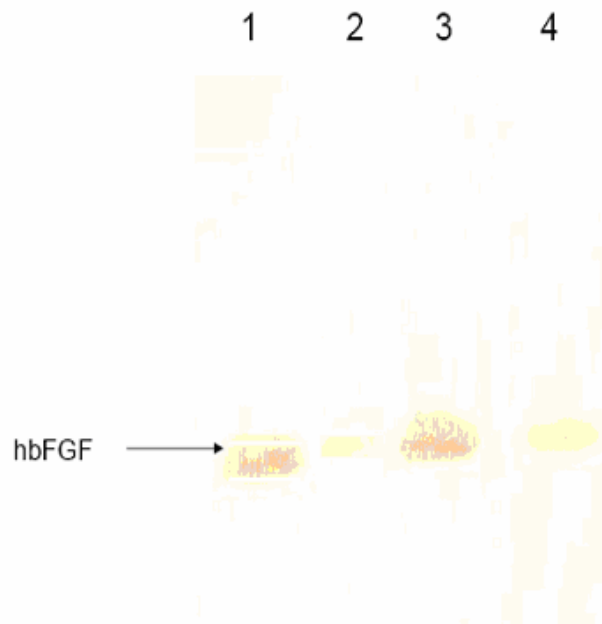
الف

شکل ۵- SDS-PAGE. S: بخش محلول عصاره سلول، In: بخش نامحلول عصاره سلول، T: عصاره سلول مقایسه الف) مقایسه بخش‌های محلول و نامحلول عصاره سلول‌های حاوی پلاسمیدهای pET-1008 و pTF16 (ب) مقایسه بخش‌های محلول و نامحلول عصاره سلول‌های حاوی پلاسمید pET-1008 به تنهایی.

بودند، با استفاده از ولتاژ الکتریکی روی کاغذ نیتروسولوز (سایز $0.2 \mu\text{m}$) انتقال داده شدند. نتایج حاصل از وسترن بلاتینگ در شکل (۶) آمده است.

نتایج به دست آمده از وسترن بلاتینگ

پروتئین‌هایی که در مرحله قبل در داخل ژل SDS-PAGE به لحاظ اندازه از یکدیگر جدا شده



شکل ۶- آنالیز وسترن بلاتینگ. ستون ۱: pET-1008 OrigamiB(DE3)، ستون ۲: pET-1008/TF-16، ستون ۳: hbFGF استاندارد، ستون ۴: pET-1008/pGTf-2.

OD₄₅₀ نمونه استاندارد hbFGF در غلظت‌های مختلف، یک منحنی استاندارد ترسیم گردید. سپس با قرار دادن OD₄₅₀ حاصل از تک تک سوش‌ها در منحنی استاندارد، عددی به دست آمد که با

مقایسه میزان بیان پروتئین با استفاده از الیزا

با استفاده از آزمایش الیزا که دارای حساسیت بسیار بالاتری نسبت به تست‌های SDS-PAGE و وسترن بلاتینگ است، نتایج دقیق‌تری به دست آمد. در ابتدا با استفاده از ارقام به دست آمده از سنجش

ضرب کردن آن در مخرج کسر رقت هر نمونه، مقدار هورمون برای هر یک مشخص شد (جدول ۱).

جدول ۱ - نتایج حاصل از آزمون الایزا.

Expression system Soluble-Insoluble Fraction	Dilution rate	OD (450) nm	Volume(mg/l culture)
Origami B (DE3)/pET-1008/Insoluble	1/10000000	0.731	250
Origami B (DE3)/pET-1008, pTf16/Insoluble	1/1000000	0.656	22.07
Origami B (DE3)/pET-1008, pGtf2/Insoluble	1/100000	0.502	0.00
Origami B (DE3)/pET-1008/ Soluble	1/1000000	0.663	20.6
Origami B (DE3)/pET-1008, pTf16/Soluble	1/1000000	0.320	92
Origami B (DE3)/pET-1008, pGtf2/Soluble	1/100000	0.00	0.00
Origami B (DE3)/pET-1008 negative control	1/10000	0.00	0.00

جدول ۲ - مقادیر دقیق سنتز hbFGF در یک لیتر از محیط کشت سلول حاوی پلاسمیدهای چاپرون و hbFGF.

Expression system	Dilution rate	OD (450)nm	Volume(mg/L)
Origami B(DE3)/pET-1008	1/10000000	0.761	266
Origami B (DE3)/pET-1008, TF-16	1/1000000	0.632	110
Origami B (DE3)/pET-1008, pG-Tf2	1/100000	0.502	0.00
Origami B (DE3)/pET-1008			
Negative control	1/10000	0.00	0.00

مقایسه بخش‌های محلول و نامحلول hbFGF در سلول‌های حاوی پلاسمید pET-1008, pG-Tf2 با استفاده از الایزا

نتیجه به دست آمده با استفاده از آزمون الایزا نشان می‌دهد که میزان حلالیت در غیاب pG-Tf2، 20.6 mg/L است که این میزان در حضور چاپرون *tig*، 0.0 mg/L GroEL-ES است. می‌توان نتیجه گرفت که این ترکیب چاپرونی، نه تنها باعث فولدینگ پروتئین نشده، بلکه سبب تجزیه پروتئین مورد نظر شده است. $20.6 / 266 = 7\%$ soluble hbFGF/ total hbFGF×100: درصد حلالیت پروتئین hbFGF در سیستم بیان کننده hbFGF به تنهایی $0.0 / 0 = 0.00$ soluble hbFGF/ total hbFGF×100: درصد حلالیت hbFGF در سیستم بیان کننده hbFGF در حضور چاپرون *tig*، GroEL-ES است.

بحث

به علت تولید مقادیر کم hbFGF از منابع طبیعی مثل بافت‌های حیوانی و با توجه به کاربرد این فاکتور در تحقیقات کلینیکی، علوم پایه، صنعت

مقایسه بخش‌های محلول و نامحلول hbFGF در سلول‌های حاوی پلاسمید pET-1008,TF-16 با استفاده از الایزا

نتیجه به دست آمده با استفاده از آزمون الایزا نشان می‌دهد که میزان حلالیت در غیاب TF-16، 20.6 mg/L است که این میزان در حضور چاپرون *tig*، 92 mg/L است. به‌طور کلی درصد حلالیت (میزان حلالیت hbFGF به پروتئین کل) از ۷٪ به ۸۳٪ افزایش داشته است که می‌توان نتیجه گرفت حلالیت در این سیستم چاپرونی افزایش یافته است.

$20.6 / 266 = 7\%$ soluble hbFGF/ total hbFGF×100: درصد حلالیت پروتئین hbFGF در سیستم بیان کننده hbFGF به تنهایی $92 / 110 = 83\%$ soluble hbFGF/ total hbFGF×100: درصد حلالیت hbFGF در سیستم بیان کننده hbFGF در حضور چاپرون TF است. از سوی دیگر، مقدار پروتئین کل از 266 mg/L به 110 mg/L کاهش داشته است که نشان می‌دهد در کل، پایداری پروتئین هدف، کم شده است.

همچنین این افزایش، با کاهش میزان آن به فرم نامحلول همراه بود.

این امر نشان می‌دهد که چاپرون TF، روی فولدینگ و تولید این پروتئین به فرم محلول تاثیر مثبت دارد.

نتایج آزمایش‌های وسترن بلاتینگ و الیزا نیز تاییدکننده نتایج SDS-PAGE بود، به طوری که درصد حلالیت hbFGF، از 7% به 83% افزایش داشت.

اما در مورد ترکیب چاپرونی TF با GroEL، محققین مذکور، اثر این ترکیب را روی اندوستاتین موش مورد ارزیابی قرار دادند و متوجه شدند که این ترکیب چاپرونی، باعث افزایش حلالیت اندوستاتین موش می‌شود (۱۷).

از طرفی مشخص شد که TF در فولدینگ پروتئین نقش دارد و علاوه بر آن، این چاپرون همراه با GroEL می‌تواند اتصال GroEL به سوپسترا را تقویت کند یا باعث فولدینگ پروتئین و یا تجزیه آن می‌شود (۱۷).

این محققین با استفاده از همین ترکیب، تاثیر آن را بر پروتئین ORP150 بررسی کردند و متوجه شدند که پروتئین مورد نظر بیشتر به فرم محلول است. این نتیجه نشان می‌داد که TF و GroEL-ES در جلوگیری از تجمع ORP150 در شرایط آزمایش، با یکدیگر همکاری می‌کنند (۱۷).

اما در این مطالعه، نتایجی همسو با نتایج Takashi Yura به دست نیامد، به طوری که ترکیب چاپرونی TF و GroEL، نه تنها باعث افزایش حلالیت hbFGF نشد، بلکه این پروتئین را تجزیه کرد. در بررسی‌ها توسط SDS-PAGE نیز عملاً باندی در بخش محلول و بخش کل پروتئین دیده نشد و نتیجه حاصل از وسترن بلاتینگ و الیزا نیز

دارو و همچنین فواید این فاکتور در درمان زخم‌ها، آسیب‌های مغز استخوان، بیماری‌های پوستی مثل اسکرودرما، زخم‌های معده، ایسکمی مغزی، پیوند رگ و بازسازی عدسی چشم، تحقیقات فراوانی در زمینه تولید این فاکتور به صورت نو ترکیب انجام پذیرفته است (۱۵-۱۳،۷).

افزایش محصول یک پروتئین نو ترکیب و دستیابی به ساختار صحیح و همچنین کاهش میزان رسوب پروتئین هدف در سلول در طی تولید، همیشه ذهن محققین را به خود معطوف ساخته است. بدین منظور طی سال‌های اخیر و با پیشرفت روش‌های مهندسی ژنتیک، روش‌های متعددی برای افزایش میزان حلالیت ابداع شده است. از جمله این روش‌ها کاهش سرعت سنتز پروتئین‌ها، استفاده از پروتئین‌های فیوژن، موتاسیون در پروتئین هدف، شرایط مساعد کشت و بیان همزمان چاپرون‌های مولکولی است (۶).

استفاده از روش بیان همزمان چاپرون‌ها به منظور روند به وجود آوردن شکل صحیح پروتئین‌های نو ترکیب، با وجود کارایی خوب هنوز در مرحله آزمون و خطاست (۱۶).

Takashi Yura در سال ۱۹۹۹، اثر چاپرون TF را روی اندوستاتین موش (endostatin) مورد بررسی قرار دادند که مشخص شد با بیان بالای TF، اندوستاتین بیشتر به فرم محلول تولید شده و این افزایش، با کاهش میزان آن به فرم نامحلول همراه بود (۱۷). تاثیر trigger factor روی پروتئین نو ترکیب ORP150، (پروتئین تنظیم‌کننده اکسیژن انسانی) نیز توسط همین محقق بررسی شده که نتایج، نشان‌دهنده تاثیر مثبت TF روی فولدینگ و تولید این پروتئین به فرم محلول است (۱۷).

در این پروژه نیز همین نتیجه از تاثیر TF روی hbFGF به دست آمد که با نتایج این محقق در باره تاثیر TF روی پروتئین‌های نو ترکیب اندوستاتین موش و ORP150 همسویی نشان می‌دهد، به طوری که در بررسی با تکنیک SDS-PAGE، hbFGF بیشتر به فرم محلول تولید شده و

در مجموع می‌توان عنوان کرد، پلاسمید TF-16 که شامل ژن چاپرون TF است، با بیان همزمان با hbFGF، باعث افزایش حلالیت پروتئین مورد نظر و کاهش میزان انکلوژن بادی در سلول میزبان می‌شود.

تائیدکننده نتایج SDS-PAGE بود. به طوری که درصد حلالیت از 7% به صفر کاهش داشت.

نتیجه‌گیری

منابع مورد استفاده

- Mitiraki, A., Fane, B., Hasse-Pettingel, C., Sturtevent, J., King, M., 1991. Suppression of protein folding defects and inclusion body formation. *Science J Global* 253: 54-58.
- Mirzahoseini, H., 2004. Differential expression of human basic fibroblast growth factor in *Escherichia coli*: potential role of promoter. *World J Microbiology and Biotechnology* 20: 161-165.
- Davidson, J. M., Klagsbrun, M., Hill, K. E., Buckley, A. M., Sullivan, R., 1985. Isolation and characterization of a macrophage-derived heparin-binding growth factor. *J Cell Biol* 100: 1219-1227.
- Baneyx, F., Mujacic, M., 2004. Recombinant protein folding and misfolding in *Escherichia coli*. *Nat Biotechnol* 22: 1399-1408.
- Bowden, G. A., Paredes, A. M., Georgiou, G., 1991. Structure and morphology of protein inclusion bodies in *Escherichia coli*. *Bio Technology* 9: 725-730.
- Betiku, E., 2006. Molecular chaperones involved in heterogenous protein folding in *Escherichia coli*. *Biotechnology Review* 1: 66-75.
- Fourtanier, A. Y., Courty, D. P. J., Muller, E., Cortoi, D. P. Y., 1986. Protein folding: progress made and promises ahead. *J Invest Dermatol* 87: 76-80.
- Baneyx, F., Plumbo, J. L., 2003. Improving heterologous protein folding via molecular chaperone and foldase co-expression. *Methods Mol Biol* 205: 171-197.
- Bukau, B., Horwich, A. L., 1998. The Hsp70 and Hsp 60 chaperone. *Cell* 92: 351-366.
- Radford, S. E., 2000. Protein folding: progress made and promises ahead. *Trends Biochem Sci* 25: 611-618.
- Berck, J. M., Caldwell, G. A., Zachgo, E. A., Second edition. *Biotechnology a laboratory course. Academic press.*
- Towbin, H., 1979. Electrophoretic transfer of proteins from polyacrylamide gels to nitrocellulose sheets: Procedure and some application. *Proc Natl Acad Sci* 76: 4350.
- Yamanaka, K., Inaba, T., Nomura, E., Hurwitz, D., Jones, D. A., Hakamada, A., Isoda, K., Kupper, T. S., Mizutani, H., 2005. Basic fibroblast growth factor treatment for skin ulcerations in scleroderma. *Cutis* 76: 373-376.
- Davidson, J. M., Klagsbrun, M., Hill, K. E., Buckley, A. M., Sullivan, R., 1985. Isolation and characterization of a macrophage-derived heparin-binding growth factor. *J Cell Biol* 100: 1219-1227.
- Rinas, U., Hoffmann, F., 2004. Roles of heat shock chaperone in the production of recombinant roteins in *Escherichia coli*. *Biochem Engin Biotechno* 189: 143-161.
- Anspach, F. B., 1995. Purification of recombinant human basic fibroblast growth factor: stability of selector sorbents under cleaning in place conditions. *J Chromatography A* 71: 129-139.
- Takashi, Y., Kazuyo, N., Msaki, K., Hideki, Y., 1999. Overexpression of trigger factor prevents aggregation of recombinant proteins in *Escherichia coli*. *Enviromental Microbiology* 23: 884-889.
- Ventur, S., Villaverde, A., 2006. Protein quality in bacterial inclusion bodies. *Trends Biotechnol* 24: 179-185.
- Rinas, U., 2007. Inclusion body anatomy and functioning of chaperone-mediated in vivo inclusion body disassembly during high-level recombinant protein production in *Escherichia coli*. *Journal of Biotechnology* 127: 244-257.